

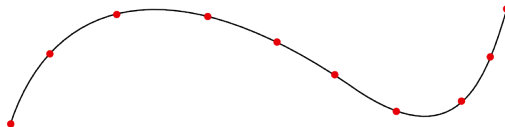
# Interpolation

Pascal Romon



Elle réalise l'intuition visuelle.

# Problématique



→ Si on recherche une courbe polynomiale, quel sera son degré minimal?

# Polynômes de Lagrange

## Introduction :

La méthode de Lagrange permet de calculer un polynôme de degré  $n$  passant par  $n + 1$  points imposés.

5 / 57

## 6 / 57



# Polynômes de Lagrange

## Exemple :

On cherche  $P(x)$  passant par les 3 points  $(x_1, y_1)$ ,  $(x_2, y_2)$  et  $(x_3, y_3)$

$$P(x) = y_0 \frac{(x - x_1)(x - x_2)}{(x_0 - x_1)(x_0 - x_2)} + y_1 \frac{(x - x_0)(x - x_2)}{(x_1 - x_0)(x_1 - x_2)} + y_2 \frac{(x - x_0)(x - x_1)}{(x_2 - x_0)(x_2 - x_1)}$$

$$P(x_0) = y_0 \underbrace{\frac{(x_0 - x_1)(x_0 - x_2)}{(x_0 - x_1)(x_0 - x_2)}}_1 + y_1 \underbrace{\frac{(x_0 - x_0)(x_0 - x_2)}{(x_1 - x_0)(x_1 - x_2)}}_0 + y_2 \underbrace{\frac{(x_0 - x_0)(x_0 - x_1)}{(x_2 - x_0)(x_2 - x_1)}}_0$$

$$P(x_0) = y_0$$



# Polynômes de Lagrange

## Exemple :

On cherche  $P(x)$  passant par les 3 points  $(x_0, y_0)$ ,  $(x_1, y_1)$  et  $(x_2, y_2)$

$$P(x) = y_0 \frac{(x - x_1)(x - x_2)}{(x_0 - x_1)(x_0 - x_2)} + y_1 \frac{(x - x_0)(x - x_2)}{(x_1 - x_0)(x_1 - x_2)} + y_2 \frac{(x - x_0)(x - x_1)}{(x_2 - x_0)(x_2 - x_1)}$$

$$P(x_1) = y_0 \underbrace{\frac{(x_1 - x_1)(x_1 - x_2)}{(x_0 - x_1)(x_0 - x_2)}}_0 + y_1 \underbrace{\frac{(x_1 - x_0)(x_1 - x_2)}{(x_1 - x_0)(x_1 - x_2)}}_1 + y_2 \underbrace{\frac{(x_1 - x_0)(x_1 - x_1)}{(x_2 - x_0)(x_2 - x_1)}}_0$$

$$P(x_1) = y_1$$

# Polynômes de Lagrange

## Exemple :

On cherche  $P(x)$  passant par les 3 points  $(x_0, y_0)$ ,  $(x_1, y_1)$  et  $(x_2, y_2)$

$$P(x) = y_0 \frac{(x - x_1)(x - x_2)}{(x_0 - x_1)(x_0 - x_2)} + y_1 \frac{(x - x_0)(x - x_2)}{(x_1 - x_0)(x_1 - x_2)} + y_2 \frac{(x - x_0)(x - x_1)}{(x_2 - x_0)(x_2 - x_1)}$$

$$P(x_2) = y_0 \underbrace{\frac{(x_2 - x_1)(x_2 - x_2)}{(x_0 - x_1)(x_0 - x_2)}}_0 + y_1 \underbrace{\frac{(x_2 - x_0)(x_2 - x_2)}{(x_1 - x_0)(x_1 - x_2)}}_0 + y_2 \underbrace{\frac{(x_2 - x_0)(x_2 - x_1)}{(x_2 - x_0)(x_2 - x_1)}}_1$$

$$P(x_2) = y_2$$

# Polynômes de Lagrange

## Exemple :

Le polynôme  $P(x)$  de degré  $n = 2$  passant par les 3 points  $(x_0, y_0)$ ,  $(x_1, y_1)$  et  $(x_2, y_2)$  est bien :

$$P(x) = y_0 L_0(x) + y_1 L_1(x) + y_2 L_2(x)$$

Un raisonnement abstrait garantit l'unicité de  $P$  ( $n + 1 =$  nombre de polynômes = dimension de  $\mathbb{R}_n[X]$ ).

# Interpolation polynômiale

## Point de vue des systèmes linéaires :

On veut trouver le polynôme  $P$  de degré  $n$  passant par  $n + 1$  points  $(x_i, y_i)$  (tous les  $x_i$  sont distincts).

Le polynôme est de la forme :

$$P(x) = a_n x^n + a_{n-1} x^{n-1} + \dots + a_2 x^2 + a_1 x + a_0$$

et vérifie :

$$\forall i \in 0 \dots n, \quad P(x_i) = y_i$$

# Interpolation polynomiale

## Remarque :

L'évaluation d'un polynôme  $P(x)$  en  $x_0$  peut s'exprimer comme un produit scalaire

$$P(x_1) = \begin{pmatrix} x_i^n & \cdots & x_i^3 & x_i^2 & x_i & 1 \end{pmatrix} \begin{pmatrix} a_n \\ \vdots \\ a_3 \\ a_2 \\ a_1 \\ a_0 \end{pmatrix}$$

# Interpolation polynomiale

Pour  $n + 1$  points, on obtient donc le système suivant :

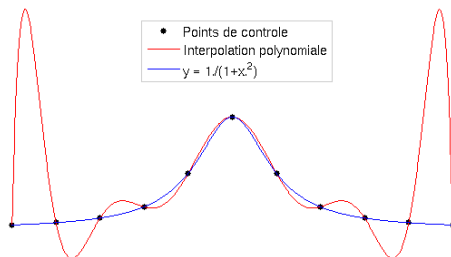
$$\begin{bmatrix} x_0^n & \cdots & x_0^3 & x_0^2 & x_0 & 1 \\ x_1^n & \cdots & x_1^3 & x_1^2 & x_1 & 1 \\ x_2^n & \cdots & x_2^3 & x_2^2 & x_2 & 1 \\ \vdots & \vdots & \vdots & \vdots & \vdots & \vdots \\ \vdots & \vdots & \vdots & \vdots & \vdots & \vdots \\ x_n^n & \cdots & x_n^3 & x_n^2 & x_n & 1 \end{bmatrix} \begin{pmatrix} a_n \\ \vdots \\ \vdots \\ a_2 \\ a_1 \\ a_0 \end{pmatrix} = \begin{pmatrix} y_0 \\ y_1 \\ y_2 \\ \vdots \\ \vdots \\ y_n \end{pmatrix}$$

(matrice carrée)

On montre que le déterminant de cette matrice n'est pas nul si les  $x_i$  sont distincts (déterminant de Vandermonde).

# Interpolation polynomiale

## Remarques :



En général, les méthodes polynômiales ne sont pas très stables entre les points de contrôle (phénomène de Runge).

# Interpolation polynomiale

## Stabilité :

- on diminue le degré du polynôme  $\rightarrow$  problème surdéterminé, moindres carrés  
le polynôme ne passera pas nécessairement par tous les points de contrôle.
- on découpe l'intervalle d'interpolation en petits intervalles  $\rightarrow$  pleins de polynômes de petit degré.



# Interpolation polynomiale

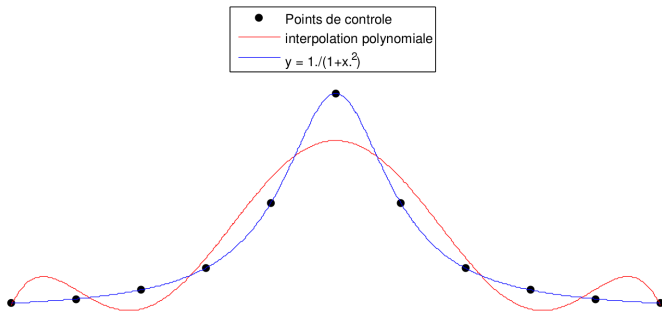
## Moindres carrés :

On choisit délibérément le degré  $m$  du polynôme inférieur au degré  $n$  prévu.

→ système surdéterminé (moindres carrés).

$$\begin{bmatrix} x_0^m & x_0^{m-1} & x_0^{m-2} & \cdots & x_0 & 1 \\ x_1^m & x_1^{m-1} & x_1^{m-2} & \cdots & x_1 & 1 \\ x_2^m & x_2^{m-1} & x_2^{m-2} & \cdots & x_2 & 1 \\ \vdots & \vdots & \vdots & \vdots & \vdots & \vdots \\ x_{n-1}^m & x_{n-1}^{m-1} & x_{n-1}^{m-2} & \cdots & x_{n-1} & 1 \\ x_n^m & x_n^{m-1} & x_n^{m-2} & \cdots & x_n & 1 \end{bmatrix} \begin{pmatrix} a_m \\ a_{m-1} \\ \vdots \\ a_0 \end{pmatrix} = \begin{pmatrix} y_0 \\ y_1 \\ y_2 \\ \vdots \\ y_{n-1} \\ y_n \end{pmatrix}$$

# Interpolation polynomiale



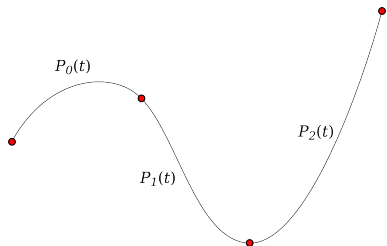
→ 11 points de contrôle

→ polynôme de degré 7

## 19 / 57

# Spline cubique 1D

Pour une spline 1D passant par  $n + 1$  points de contrôle  $(x_0, x_1, \dots, x_n)$ , la  $i$ -ème partie de la spline est représenté par le polynôme  $P_i(t)$  :



$$P_i(t) = a_i + b_i t + c_i t^2 + d_i t^3 \text{ avec } t \in [0, 1] \text{ et } i = 0, \dots, n - 1.$$

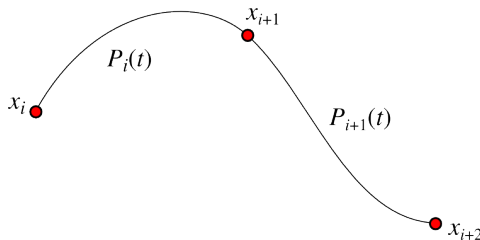
On constate qu'il y a priori trop de degrés de liberté ( $4n$ ) alors que le degré 1 suffit.

# Spline cubique 1D

## Contraintes

Chaque bout de spline doit être cohérente avec la suivante :

- $P_i(1) = P_{i+1}(0) = x_{i+1}$  (la fin de  $P_i(t)$  = début de  $P_{i+1}(t)$ )
- $P'_i(1) = P'_{i+1}(0)$  (idem pour la dérivée (continuité  $C^1$ ))
- $P''_i(1) = P''_{i+1}(0)$  (et pour la dérivée seconde (continuité  $C^2$ ))



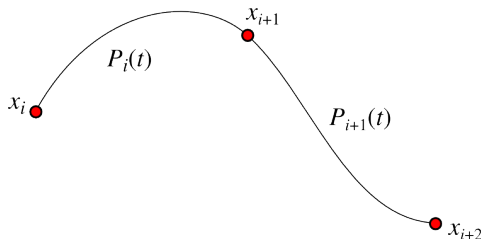
# Spline cubique 1D

$$P_i(t) = a_i + b_it + c_it^2 + d_it^3$$

### Points de contrôle :

$$P_i(0) = x_i = a_i$$

$$P_i(1) = x_{i+1} = a_i + b_i + c_i + d_i$$



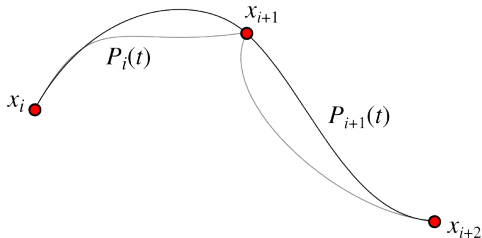
# Cubic Spline 1D

$$P_i(t) = a_i + b_it + c_it^2 + d_it^3$$

**Dérivée première :**

$$P'_i(0) \equiv D_i = b_i$$

$$P'_i(1) \equiv D_{i+1} = b_i + 2c_i + 3d_i$$



# Cubic Spline 1D

$$P_i(t) = a_i + b_it + c_it^2 + d_it^3$$

Dérivée seconde :

$$P_i''(0) \equiv S_i = 2c_i$$

$$P_i''(1) \equiv S_{i+1} = 2c_i + 6d_i$$

donc  $P_i''(1) = P_{i+1}''(0)$  s'écrit

$$c_i + 3d_i = c_{i+1}$$



# Cubic Spline 1D

## Résumé :

- point de contrôle  $\rightarrow a_i = x_i$
- dérivée première  $\rightarrow b_i = D_i$
- point de contrôle  $\rightarrow x_{i+1} = a_i + b_i + c_i + d_i$
- dérivée première  $\rightarrow D_{i+1} = b_i + 2c_i + 3d_i$

En combinant ces 4 équations, on obtient pour  $i = 0, \dots, n-1$  :

$$(\star) \begin{cases} a_i = x_i \\ b_i = D_i \\ c_i = 3(x_{i+1} - x_i) - 2D_i - D_{i+1} \\ d_i = 2(x_i - x_{i+1}) + D_i + D_{i+1} \end{cases}$$

auquel s'ajoute la continuité  $C^2$ .

# Spline cubique 1D

On peut réécrire chaque polynôme en fonction des  $D_i$  et des  $x_i$

$$\begin{cases} a_i = x_i \\ b_i = D_i \\ c_i = 3(x_{i+1} - x_i) - 2D_i - D_{i+1} \\ d_i = 2(x_i - x_{i+1}) + D_i + D_{i+1} \end{cases}$$

$$\begin{aligned} P_i(t) &= a_i + b_i t + c_i t^2 + d_i t^3 \\ &= x_i + D_i t + (3(x_{i+1} - x_i) - 2D_i - D_{i+1}) t^2 \\ &\quad + (2(x_i - x_{i+1}) + D_i + D_{i+1}) t^3 \end{aligned}$$

satisfait  $(\star)$  par construction.

Noter que les  $D_0, D_1, \dots, D_n$  sont librement choisis à ce stade.

# Spline cubique 1D

**Contraintes  $C^2$  :**

$$P_i(t) = x_i + D_i t + (3(x_{i+1} - x_i) - 2D_i - D_{i+1})t^2 + (2(x_i - x_{i+1}) + D_i + D_{i+1})t^3$$

Pour  $0 \leq i \leq n-2$ ,  $c_{i+1} = c_i + 3d_i$  devient

$$\begin{aligned} 3(x_{i+2} - x_{i+1}) - 2D_{i+1} - D_{i+2} \\ = 3(x_{i+1} - x_i) - 2D_i - D_{i+1} + 6(x_i - x_{i+1}) + 3D_i + 3D_{i+1} \end{aligned}$$

soit, pour  $i = 0, \dots, n-2$

$$D_i - 4D_{i+1} + D_{i+2} = 3(x_{i+2} - x_i)$$

# Spline cubique 1D

**Contraintes  $C^2$  (expression matricielle) :**

Pour  $i = 0, \dots, n-2$ ,  $D_i - 4D_{i+1} + D_{i+2} = 3(x_{i+2} - x_i)$

$$\begin{bmatrix} 1 & 4 & 1 & & & \\ & 1 & 4 & 1 & & \\ & & 1 & 4 & 1 & \\ & & & \ddots & \ddots & \ddots \\ & & & & 1 & 4 & 1 \end{bmatrix} \begin{pmatrix} D_0 \\ D_1 \\ D_2 \\ D_3 \\ \vdots \\ D_{n-1} \\ D_n \end{pmatrix} = \begin{pmatrix} 3(x_2 - x_0) \\ 3(x_3 - x_1) \\ \vdots \\ 3(x_{n-1} - x_{n-3}) \\ 3(x_n - x_{n-2}) \end{pmatrix}$$

Noter que la matrice est de taille  $(n-1) \times (n+1)$

# Spline cubique 1D

## Conditions au bord

Trois types de conditions possibles :

- spline serrée =  $D_0$  et  $D_n$  sont fixées par l'utilisateur  
(+2 équations)
- périodique (spline circulaire ou fermée) :  $x_0 = x_n$  ; alors  
 $D_0 = D_n$  et  $P_0''(0) = P_{n-1}''(1)$   
(+2 équations)
- spline naturelle :  $P_0''(0) = P_{n-1}''(1) = 0$   
(+2 équations)

# Spline cubique 1D

## Spline naturelle

On rajoute  $P_0''(0) = P_{n-1}''(1) = 0$ , c-à-d  $2D_0 + D_1 = 3(x_1 - x_0)$  et  $D_{n-1} + 2D_n = 3(x_n - x_{n-1})$

$$\begin{bmatrix} 2 & 1 & & & & & \\ 1 & 4 & 1 & & & & \\ & 1 & 4 & 1 & & & \\ & & 1 & 4 & 1 & & \\ & & & \ddots & \ddots & \ddots & \\ & & & & 1 & 4 & 1 \\ & & & & & 1 & 2 \end{bmatrix} = \begin{pmatrix} D_0 \\ D_1 \\ D_2 \\ D_3 \\ \vdots \\ D_{n-1} \\ D_n \end{pmatrix} = \begin{pmatrix} 3(x_1 - x_0) \\ 3(x_2 - x_0) \\ 3(x_3 - x_1) \\ \vdots \\ 3(x_{n-1} - x_{n-3}) \\ 3(x_n - x_{n-2}) \\ 3(x_n - x_{n-1}) \end{pmatrix}$$

# Spline cubique 1D

## Spline fermée

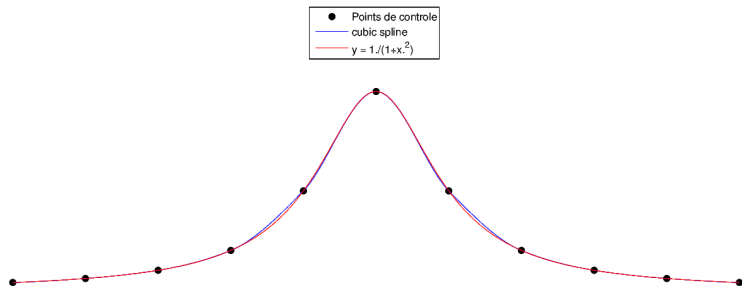
On rajoute  $D_0 = D_n$  et  $P_0''(0) = P_{n-1}''(1)$ , c-à-d

$$\begin{bmatrix} 4 & 1 & & & & & 1 \\ 1 & 4 & 1 & & & & \\ & 1 & 4 & 1 & & & \\ & & \ddots & \ddots & \ddots & & \\ & & & 1 & 4 & 1 & \\ 1 & & & & 1 & 4 & \end{bmatrix} \begin{pmatrix} D_0 \\ D_1 \\ D_2 \\ \vdots \\ D_{n-2} \\ D_{n-1} \end{pmatrix} = \begin{pmatrix} 3(x_1 - x_{n-1}) \\ 3(x_2 - x_0) \\ 3(x_3 - x_1) \\ \vdots \\ 3(x_{n-1} - x_{n-3}) \\ 3(x_n - x_{n-2}) \end{pmatrix}$$

On a simplifié le système en enlevant  $D_n$ .

# Spline cubique 1D

En 1D :





# Spline cubique paramétriques (2D et 3D)

## En paramétrique :

En 2D, on veut autoriser des courbes qui ne sont pas des graphes au dessus de l'axe des abscisses.

En 3D, la spline passe par un ensemble de  $n + 1$  points de contrôle  $\{(x_i, y_i, z_i)\}_{i \in 0 \dots n}$ .

Chaque élément de spline est défini par 3 ensembles de polynômes  $P_i^x(t)$ ,  $P_i^y(t)$ ,  $P_i^z(t)$  calculés en résolvant trois systèmes linéaires.

# Spline cubique 3D

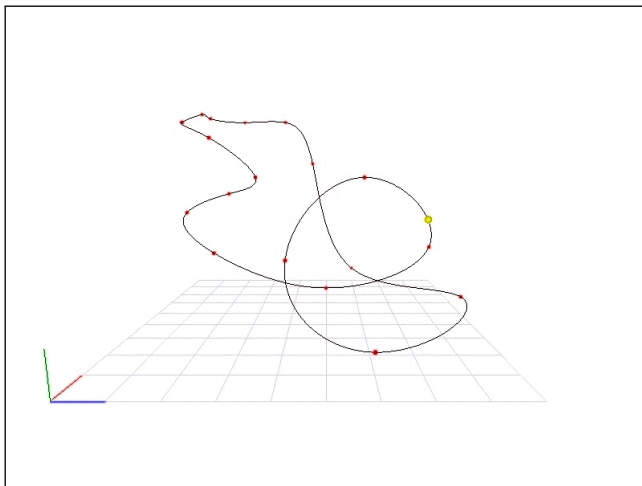
$$\begin{bmatrix} 4 & 1 & & & & & 1 \\ 1 & 4 & 1 & & & & \\ & 1 & 4 & 1 & & & \\ & & 1 & 4 & 1 & & \\ & & & \ddots & \ddots & \ddots & \\ & & & & 1 & 4 & 1 \\ 1 & & & & & 1 & 4 \end{bmatrix} \begin{pmatrix} Dx_0 \\ Dx_1 \\ Dx_2 \\ Dx_3 \\ \vdots \\ Dx_{n-1} \\ Dx_n \end{pmatrix} = \begin{pmatrix} 3(x_1 - x_0) \\ 3(x_2 - x_1) \\ 3(x_3 - x_2) \\ \vdots \\ 3(x_{n-1} - x_{n-2}) \\ 3(x_n - x_{n-1}) \end{pmatrix}$$

$$\begin{bmatrix} 4 & 1 & & & & & 1 \\ 1 & 4 & 1 & & & & \\ & 1 & 4 & 1 & & & \\ & & 1 & 4 & 1 & & \\ & & & \ddots & \ddots & \ddots & \\ & & & & 1 & 4 & 1 \\ 1 & & & & & 1 & 4 \end{bmatrix} \begin{pmatrix} Dy_0 \\ Dy_1 \\ Dy_2 \\ Dy_3 \\ \vdots \\ Dy_{n-1} \\ Dy_n \end{pmatrix} = \begin{pmatrix} 3(y_1 - y_0) \\ 3(y_2 - y_1) \\ 3(y_3 - y_2) \\ \vdots \\ 3(y_{n-1} - y_{n-2}) \\ 3(y_n - y_{n-1}) \end{pmatrix}$$

$$\begin{bmatrix} 4 & 1 & & & & & 1 \\ 1 & 4 & 1 & & & & \\ & 1 & 4 & 1 & & & \\ & & 1 & 4 & 1 & & \\ & & & \ddots & \ddots & \ddots & \\ & & & & 1 & 4 & 1 \\ 1 & & & & & 1 & 4 \end{bmatrix} \begin{pmatrix} Dz_0 \\ Dz_1 \\ Dz_2 \\ Dz_3 \\ \vdots \\ Dz_{n-1} \\ Dz_n \end{pmatrix} = \begin{pmatrix} 3(z_1 - z_0) \\ 3(z_2 - z_1) \\ 3(z_3 - z_2) \\ \vdots \\ 3(z_{n-1} - z_{n-2}) \\ 3(z_n - z_{n-1}) \end{pmatrix}$$

# Spline cubique 3D

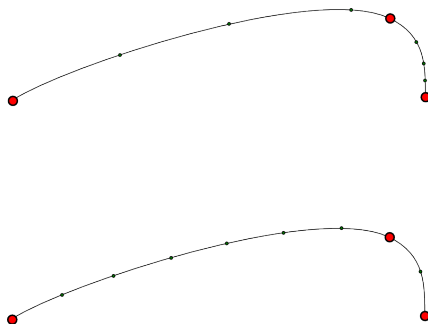
En 3D :



# Spline cubique 3D

## Inconvénient :

Il faut noter que  $t$  varie de 0 à 1 sur une portion de spline de façon non uniforme, ce qui complique l'utilisation de l'interpolation.



# Courbes de Bézier

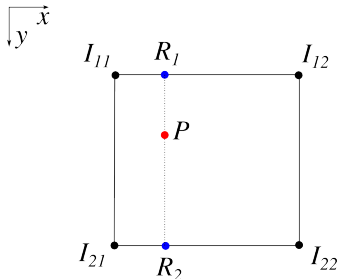
En informatique graphique, les courbes de Bézier sont utilisées pour définir des objets courbés et lisses: par exemple, les polices PostScript, TrueType.



Lettre g, police Computer Modern, par Sebastian, [stackoverflow.com](https://stackoverflow.com)

# Interpolation bilinéaire

Pour interpoler en dimension 2 sur un carré (au lieu d'un intervalle)



souvent utilisée pour faire de l'antialiasing Interpolation linéaire pour  $R_1$  et  $R_2$  :

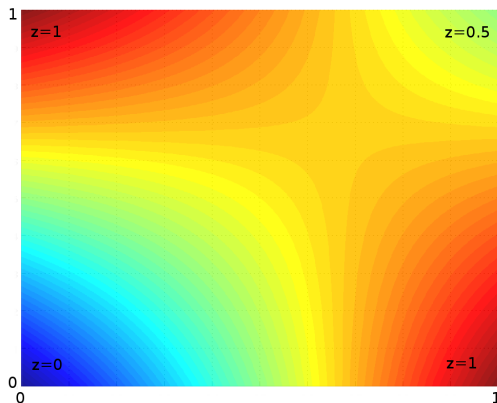
$$t = \frac{x_2 - x_p}{x_2 - x_1} \rightarrow \begin{aligned} f(R_1) &= tf(I_{11}) + (1-t)f(I_{12}) \\ f(R_2) &= tf(I_{21}) + (1-t)f(I_{22}) \end{aligned}$$





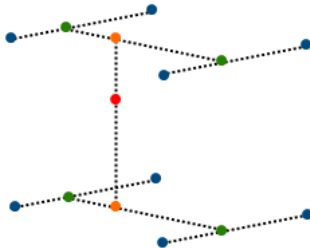


# Interpolation bilinéaire



# Interpolation trilinéaire

Extension naturelle en 3D :



# Interpolation $nD$

Comment fait-on en dimension  $n$ ?

→ Radial Basis Function Interpolation

# Radial Basis Function Interpolation

## Introduction :

Cette méthode permet d'interpoler une fonction :

$$u = f(x_1, x_2, \dots, x_n)$$

## Applications :

- interpoler une couleur dans une image 2D
- interpoler une température dans un espace 3D
- interpoler une vitesse dans un espace 3D + t
- ...

# Radial Basis Function Interpolation

## Méthode :

entrée :

- un ensemble de  $k$  points  $nD$   $\{\mathbf{x}_i = (x_1^i, x_2^i, \dots, x_n^i)\}_{i=1\dots k}$
- leur valeur  $u_i = f(\mathbf{x}_i)$

sortie : On cherche une fonction  $g(\mathbf{x})$  telle que  $g(\mathbf{x}_i) = u_i, \forall i$

# Radial Basis Function Interpolation

On définit  $g(\mathbf{x})$  telle que :

$$g(\mathbf{x}) = \sum_{i=1}^k \omega_i \cdot \phi(|\mathbf{x} - \mathbf{x}_i|)$$

avec :

- $\omega_i$  des coefficients à déterminer.
- $\phi(|\mathbf{a} - \mathbf{b}|)$  une fonction “radiale” dont la valeur dépend de la distance entre  $\mathbf{a}$  et  $\mathbf{b}$ .

# Radial Basis Function Interpolation

## Fonction $\phi$ :

Soit  $d = \|\mathbf{a} - \mathbf{b}\|$  la norme  $L_2$  du vecteur  $\mathbf{a} - \mathbf{b}$ ,  $\phi(d)$  est une fonction “radiale” dont la valeur dépend uniquement de  $d$  (et éventuellement de quelques constantes).

→ Il existe une multitude de fonctions radiales telles que :

- $\phi(d) = d$
- une *multiquadrique*  $\phi(d) = \sqrt{1 + (\varepsilon d)^2}$

ou bien (radiales décroissantes)

- une *inverse quadric*  $\phi(d) = \frac{1}{1 + (\varepsilon d)^2}$
- une gaussienne  $\phi(d) = e^{-\varepsilon d^2}$

# Radial Basis Function Interpolation

$$g(\mathbf{x}) = \sum_{i=1}^k \omega_i \cdot \phi(|\mathbf{x} - \mathbf{x}_i|)$$

- $\phi(|\mathbf{x} - \mathbf{x}_i|)$  : on peut le calculer  $\forall \mathbf{x}_i \rightarrow \text{OK}$ .
- $\omega_i$  : on les connaît pas, mais on sait que  $g(\mathbf{x}_i) = u_i, \forall i$ .

On obtient  $k$  contraintes sur les  $\omega_i$  :

$$\sum_{i=1}^k \omega_i \cdot \phi(|\mathbf{x}_m - \mathbf{x}_i|) = u_m \quad \forall m \in 1 \dots k$$



# Radial Basis Function Interpolation

$$\sum_{i=1}^k \omega_i \cdot \phi(|\mathbf{x}_m - \mathbf{x}_i|) = u_m \quad \forall m \in 1 \dots k$$

On peut l'écrire matriciellement sous la forme :

$$\begin{bmatrix} \phi(|\mathbf{x}_1 - \mathbf{x}_1|) & \phi(|\mathbf{x}_1 - \mathbf{x}_2|) & \cdots & \phi(|\mathbf{x}_1 - \mathbf{x}_k|) \\ \phi(|\mathbf{x}_2 - \mathbf{x}_1|) & \phi(|\mathbf{x}_2 - \mathbf{x}_2|) & \cdots & \phi(|\mathbf{x}_2 - \mathbf{x}_k|) \\ \vdots & \vdots & \vdots & \vdots \\ \phi(|\mathbf{x}_k - \mathbf{x}_1|) & \phi(|\mathbf{x}_k - \mathbf{x}_2|) & \cdots & \phi(|\mathbf{x}_k - \mathbf{x}_k|) \end{bmatrix} \begin{pmatrix} \omega_1 \\ \omega_2 \\ \vdots \\ \omega_k \end{pmatrix} = \begin{pmatrix} u_1 \\ u_2 \\ \vdots \\ u_k \end{pmatrix}$$

→ on peut résoudre et trouver les  $\omega_i$ .

# Radial Basis Function Interpolation

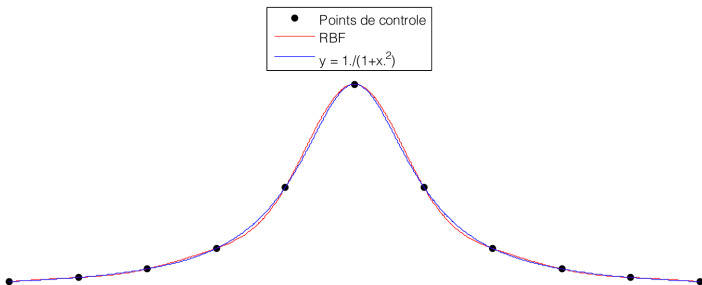
## Évaluation d'un point :

Pour un point  $\mathbf{y}$  quelconque que l'on souhaite interpoler, on obtient :

$$u_{\mathbf{y}} = \sum_{i=1}^k \omega_i \cdot \phi(|\mathbf{y} - \mathbf{x}_i|)$$

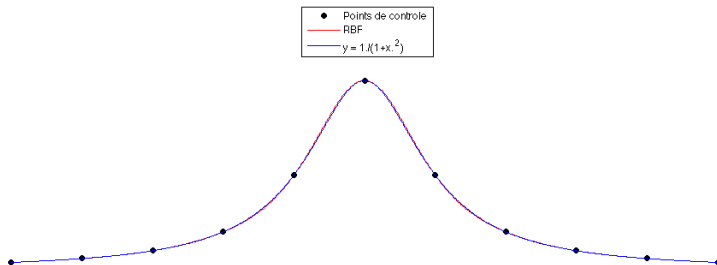
# Radial Basis Function Interpolation

En 1D :  $\phi(d) = e^{-d^2}$



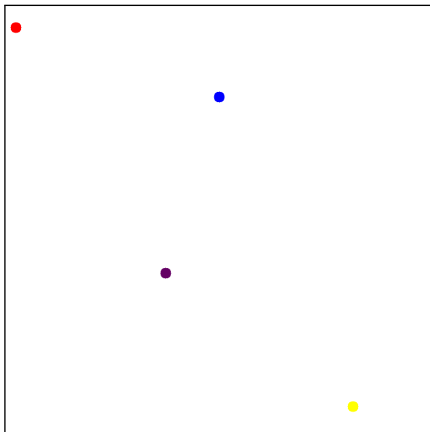
# Radial Basis Function Interpolation

En 1D :  $\phi(d) = \frac{1}{1 + d^2}$



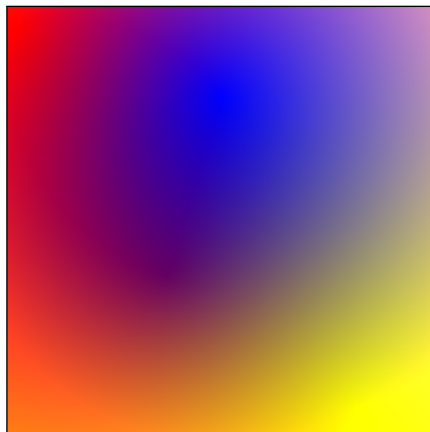
# Radial Basis Function Interpolation

**Exemple :** interpolation 2D de couleur



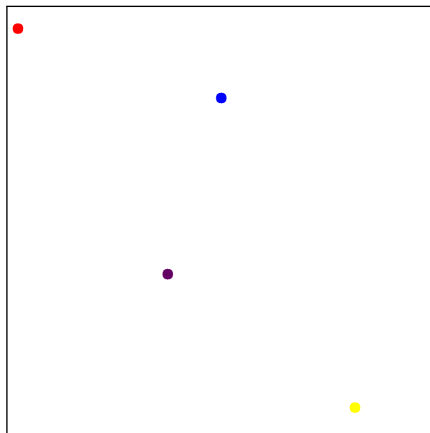
# Radial Basis Function Interpolation

**Exemple :** interpolation 2D de couleur :  $\phi(d) = d$



# Radial Basis Function Interpolation

**Exemple :** interpolation 2D de couleur



# Radial Basis Function Interpolation

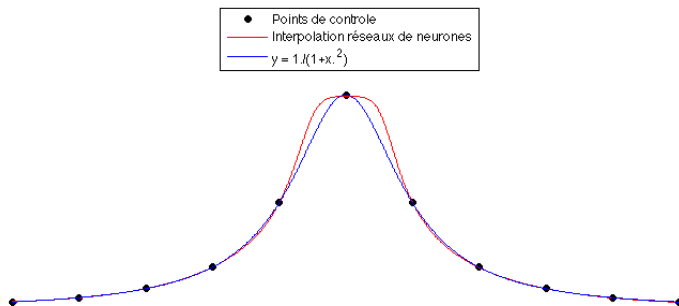
**Exemple :** interpolation 2D de couleur :  $\phi(d) = e^{-\varepsilon d^2}$





# Divers

## Réseaux de neurones :



→ Topologie : 1-3-3-1

→ Apprentissage : 10 000 itérations